

А. С. ДАВЫДОВ, В. С. РОСТОВСКИЙ

## ЭЛЕКТРИЧЕСКИЕ МОНОПОЛЬНЫЕ ПЕРЕХОДЫ В НЕСФЕРИЧЕСКИХ АТОМНЫХ ЯДРАХ

Рассчитаны энергетические состояния несферических четно-четных атомных ядер, имеющих в основном состоянии аксиальную симметрию. Показано, что волновые функции и относительные энергии возбужденных состояний при полном учете взаимодействий вращения с  $\beta$ - и  $\gamma$ -колебаниями выражаются через два параметра, характеризующие амплитуды нулевых  $\beta$ - и  $\gamma$ -колебаний поверхности ядра. Вычислены относительные вероятности  $E0$ - и  $E2$ -переходов как функции этих параметров. Теория сравнивается с экспериментом.

### Введение

Хорошо известно, что в окруженном электронами ядре возможны электрические монополярные  $E0$ -переходы между состояниями одинакового спина и четности. При таких переходах энергия возбуждения ядра уносится электронами конверсии. Вероятность  $E0$ -переходов определяется изменением радиального распределения электрических зарядов внутри ядра в момент квантового перехода. Поэтому экспериментальное и теоретическое изучение  $E0$ -переходов может служить эффективным средством исследования природы возбужденных состояний атомных ядер и правильности выбора модели для их описания. Теория  $E0$ -переходов между первыми возбужденными состояниями одинакового спина рассматривалась в ряде работ [1—6] для различных моделей ядер.

В настоящее время установлено, что в четно-четных несферических ядрах наряду с основной последовательностью возбужденных состояний малой энергии со спинами (в единицах  $\hbar$ ), равными 2, 4, 6, 8..., и значениями проекции ( $K$ ) спина на аксиальную ось, близкими к нулю, имеются возбужденные состояния со спинами 2, 3, 4, ... и  $K \approx 2$ . В первоначальной теории коллективных возбужденных состояний, развитой Бором и Моттельсоном [7], возбужденные состояния с  $K \approx 2$  рассматривались как  $\gamma$ -колебания поверхности ядра, а в работе Давыдова и Филиппова [8] — как состояния аномальной вращательной полосы неаксиального ротатора. Эти две крайние точки зрения отражают разные методы приближенного решения задачи о коллективных возбуждениях, соответствующих квадрупольным колебаниям поверхности атомного ядра, описываемых оператором

$$H = \frac{\hbar^2}{2B} \left\{ T_\beta + \frac{1}{\beta^2} [T_\gamma + T_{rot}] \right\} + V(\beta, \gamma), \quad (1)$$

где  $V(\beta, \gamma)$  — потенциальная энергия  $\beta$ - и  $\gamma$ -колебаний,

$$T_{\beta} = -\frac{1}{\beta^4} \cdot \frac{\partial}{\partial \beta} \left( \beta \frac{\beta^4 \partial}{\partial \beta} \right), \quad T_{\gamma} = -\frac{1}{\sin 3\gamma} \cdot \frac{\partial}{\partial \gamma} \left( \sin(3\gamma) \frac{\partial}{\partial \gamma} \right),$$

$$T_{rot} = \frac{1}{4} \sum_{l=1}^3 A_l(\gamma) J_l^2,$$

при этом  $J_l$  — проекции на главные оси ядра оператора полного углового момента. Обычно зависимость функций  $A_l(\gamma)$  от динамической переменной  $\gamma$  определяется выражениями

$$A_l(\gamma) = \left[ \sin \left( \gamma - \frac{2\pi l}{3} \right) \right]^{-2}, \quad l = 1, 2, 3.$$

Для ядер, у которых колебания происходят относительно равновесной сферической формы, такая зависимость получается [7] в результате канонического преобразования оператора

$$H = \frac{1}{2} \sum_{\mu} \{ C |\alpha_{\mu}|^2 + B |\dot{\alpha}_{\mu}|^2 \}, \quad \mu = 0, \pm 1, \pm 2$$

коллективных квадрупольных колебаний поверхности ядра к переменным  $\theta_1 \theta_2 \theta_3 \beta \gamma$ . Собственные функции оператора (1) как функции внутренних динамических переменных  $\beta$  и  $\gamma$  и трех углов Эйлера  $\theta \equiv \{\theta_1 \theta_2 \theta_3\}$  определяются в пространстве с элементом объема

$$d\tau = \beta^4 |\sin 3\gamma| |\sin \theta_2| d\beta d\gamma d\theta_1 d\theta_2 d\theta_3.$$

В полном виде исследование коллективных возбуждений, описываемых оператором (1), еще не производилось. Во всех предыдущих работах решались задачи, соответствующие определенным упрощениям (1). Так, например, в работах [7, 9] исследовались возбуждения ядра, определяемые оператором

$$H_{\gamma} = -\frac{\hbar^2}{2B_{\gamma}} \left[ \frac{1}{\gamma} \cdot \frac{\partial}{\partial \gamma} \left( \gamma \frac{\partial}{\partial \gamma} \right) - \frac{J_3^2}{\gamma^2} \right] + \frac{1}{2} C_{\gamma} \cdot \gamma^2, \quad (2)$$

который получается из (1) при сохранении членов, зависящих от  $\gamma$ , при следующих дополнительных упрощениях:

$$B\beta^2 \rightarrow B\beta_0^2 = B_{\gamma}, \quad V(\beta, \gamma) \rightarrow \frac{C}{2} (\beta - \beta_0)^2 + \frac{1}{2} C_{\gamma} \gamma^2,$$

$$\frac{\hbar^2}{2B\beta^2} T_{rot} \rightarrow \frac{\hbar^2}{6B\beta_0^2} (J^2 - J_3^2) + \frac{\hbar^2}{2B_{\gamma}} \cdot \frac{J_3^2}{\gamma^2}. \quad (3)$$

Согласно (3) второе слагаемое в квадратных скобках оператора (2) представляет собой часть оператора вращения. Если обозначить через  $K = 0, 2, 4, \dots$  собственные значения оператора  $J_3$ , то в состояниях с  $K \neq 0$  собственные значения оператора (2) характеризуют сложные возбуждения, в которых  $\gamma$ -колебания и вращения ядра вокруг оси 3 неразделимы. В частности, волновые функции этих состояний зависят от  $\gamma$  и угла  $\theta_3$ . Таким образом, возбужденные состояния, определяемые оператором (2), можно назвать  $\gamma$ -колебаниями только в состояниях с  $K \approx 0$ . С другой стороны, в адиабатической теории Давыдова и Филиппова [8] возбужденные состояния характеризовались оператором

$$H' = \frac{\hbar^2}{2B\beta^2} T_{rot} = \frac{\hbar^2}{8B\beta^2} \sum_l \frac{J_l^2}{\sin^2\left(\gamma - \frac{2\pi l}{3}\right)},$$

в котором динамические переменные  $\beta$  и  $\gamma$  заменяются некоторыми эффективными значениями, играющими роль параметров теории. Формально такая замена сводит  $H'$  к оператору энергии жесткого асимметричного волчка. Соответствующие возбужденные состояния назывались вращательными, хотя в действительности они также представляют комбинацию вращения с колебаниями поверхности ядра, которые косвенно учитываются эффективным выбором  $\beta$  и  $\gamma$ . Если рассматривать возбужденные состояния только основной и аномальной вращательных полос и вероятности переходов между ними, то такое адиабатическое приближение является достаточно удовлетворительным.

В более точной теории адиабатическое приближение является неприемлемым. Форма ядра меняется при переходе его в возбужденные состояния. В частности, при переходе в возбужденные состояния с  $K \neq 0$  нарушается аксиальная симметрия ядра даже в том случае, когда она имела в основном состоянии. Изменение формы ядра при его возбуждении приводит к связи вращения с  $\beta$ - и  $\gamma$ -колебаниями. Учет такой взаимосвязи особенно существен при исследовании  $E0$ -переходов, так как вероятности таких переходов строго запрещены в адиабатическом приближении.

В работе [5] вычисление вероятностей  $E0$ -переходов производилось без полного учета взаимодействия  $\beta$ - и  $\gamma$ -колебаний. Волновые функции возбужденных состояний писались в виде произведения  $F(\beta) \Phi(\gamma, \theta_1, \theta_2, \theta_3)$ . В интересной работе Хара [6] используется ряд непоследовательных преобразований оператора (1). С одной стороны, производятся упрощения (3), чтобы получить оператор « $\gamma$ -колебаний» (2). С другой стороны, учитываются некоторые члены второго порядка малости в разложении моментов инерции по степеням  $\beta - \beta_0$  и  $\gamma$  (именно члены  $\sim \gamma \frac{\beta - \beta_0}{\beta_0} (J_2^2 - J_1^2)$ ) в последующих вычислениях в [6] не учитываются все члены одинакового порядка малости.

Целью настоящей статьи является попытка вычисления уровней энергии, волновых функций и вероятностей  $E0$ - и  $E2$ -переходов на основе оператора (1) с более полным учетом взаимосвязи между коллективными возбуждениями разного типа.

В наиболее общем случае потенциальная энергия может быть записана в виде

$$V(\beta, \gamma) = \frac{1}{2} C\beta^2 + \beta\chi(\cos 3\gamma),$$

где  $\chi$  — некоторая функция. Введем функцию  $W(\beta, \gamma) = V(\beta, \gamma) + \frac{\Lambda_0 + 2}{\beta^2}$ , где  $\Lambda_0$  — постоянная величина, значение которой будет определено ниже.

Тогда, разлагая  $W(\beta, \gamma)$  в ряд по степеням отклонений  $\beta$  и  $\gamma$  от значений  $\beta_0$  и  $\gamma_0$ , соответствующих минимуму  $W(\beta, \gamma)$ , получим с точностью до постоянного слагаемого

$$V(\beta, \gamma) + \frac{\Lambda_0 + 2}{\beta^2} = \frac{1}{2} C_\beta (\beta - \beta_0)^2 + \frac{1}{2} C_\gamma \beta \beta_0 (\gamma - \gamma_0)^2. \quad (4)$$

Подставляя (4) в оператор (1), можно преобразовать (1) к виду

$$h = \frac{B\beta_0^2}{\hbar^2} H = h_0 + h_1, \quad (5)$$

где

$$h_0 = \frac{\beta_0^2}{2} \left\{ T_\beta - \frac{2}{\beta^2} + \frac{(\beta - \beta_0)^2}{(\mu\beta_0)^4} + \frac{1}{\beta^2} \left[ T_\gamma + T_{rot} + \frac{(\gamma - \gamma_0)^2}{4\Gamma^4} - \Lambda_0 \right] \right\}, \quad (6)$$

$$h_1 = \frac{(\gamma - \gamma_0)^2}{8\Gamma^4} \cdot \left( \frac{\beta}{\beta_0} - \frac{\beta_0^2}{\beta} \right), \quad (7)$$

$$\mu = \frac{1}{\beta_0} \left[ \frac{\hbar^2}{BC_\beta} \right]^{1/4}, \quad \Gamma = \frac{1}{\beta_0} \left[ \frac{\hbar^2}{4BC_\gamma} \right]^{1/4}. \quad (8)$$

Величины  $\beta_0$ ,  $\gamma_0$ ,  $\mu$  и  $\Gamma$ , входящие в (5), следует рассматривать как параметры теории. Энергии возбужденных состояний далее будут измеряться только в единицах  $\frac{\hbar^2}{B\beta_0^2}$ , поэтому далее мы будем пользоваться только оператором  $h$ .

Как будет показано в § 2, если пренебречь оператором  $h_1$ , то волновая функция основного состояния пропорциональна

$$\exp \left[ - \left( \frac{\gamma - \gamma_0}{2\Gamma} \right)^2 - \frac{1}{2} \left( \frac{\beta - \beta_0}{\mu\beta_0} \right)^2 \right].$$

Таким образом, величины  $\Gamma$  и  $\mu\beta_0$  характеризуют амплитуды нулевых  $\gamma$ - и  $\beta$ -колебаний поверхности ядра. Значения  $\Gamma = \mu = 0$  соответствуют абсолютно жестким ядрам. Величину  $\mu$  будем называть параметром неадиабатичности по отношению к  $\beta$ -колебаниям. Величину  $\Gamma$  будем называть параметром неаксиальности, так как она характеризует (при  $\gamma_0 = 0$ ) амплитуду нулевых  $\gamma$ -колебаний, нарушающих аксиальную симметрию ядра. В § 1 будут найдены собственные функции оператора [6], соответствующие разным коллективным возбужденным состояниям ядер. В § 2 и 3 эти функции будут использованы для вычисления ядерных матричных элементов, определяющих вероятности  $E0$ - и  $E2$ -переходов. В § 4 производится сравнение теории с экспериментальными данными.

## § 1. Собственные функции коллективных возбужденных состояний

Собственные функции оператора  $h$  (5) могут быть вычислены методом последовательных приближений, если рассматривать  $h_1$  как оператор возмущения. Действительно, если

$$(h_0 - \varepsilon_i) \psi_i = 0, \quad (9)$$

то в первом приближении теории возмущений собственные функции полного оператора  $h$  имеют вид

$$|i\rangle = \psi_i + \sum_{i \neq i'} \frac{\langle \psi_{i'} | h_1 | \psi_i \rangle}{\varepsilon_i - \varepsilon_{i'}} \psi_{i'}. \quad (10)$$

Собственные функции  $\psi_i$  можно искать в виде произведения

$$\psi = \beta^{-2} \cdot f_{\nu\Lambda}(\beta) \cdot \Phi_\Lambda(\gamma, \theta), \quad f_{\nu\Lambda}(0) = 0,$$

тогда из (9) получаем систему двух уравнений

$$\left[ T_v + T_{rot} + \frac{(\gamma - \gamma_0)^2}{4\Gamma^4} - \Lambda \right] \Phi_\Lambda = 0, \quad (11)$$

$$\left[ -\frac{d^2}{d\beta^2} + \frac{(\beta - \beta_0)^2}{(\mu\beta_0)^4} + \frac{\Lambda - \Lambda_0}{\beta^2} - \frac{2\varepsilon(v\Lambda)}{\beta_0^2} \right] f_{v\Lambda} = 0. \quad (12)$$

Решения уравнения (12) при фиксированном  $\Lambda$  найдены в работе [10]. С точностью до множителя нормировки они имеют вид

$$f_{v\Lambda} = H_v(\zeta_\Lambda) \cdot \exp\left(-\frac{1}{2}\zeta_\Lambda^2\right),$$

где  $\zeta_\Lambda \equiv \frac{1}{\mu_\Lambda} \left( \frac{\beta}{\beta_0} - p \right)$ . При этом величины  $\mu_\Lambda$  и  $p$  выражаются через  $\Lambda$  и  $\mu$  с помощью уравнений

$$p^3(p-1) = (\Lambda - \Lambda_0)\mu^4, \quad p \gg 1,$$

$$\mu_\Lambda = \mu \left[ 1 + 3(\Lambda - \Lambda_0) \left( \frac{\mu}{p} \right)^4 \right]^{-\frac{1}{4}}. \quad (13)$$

Функция  $H_v(\zeta)$  определяется бесконечным степенным рядом

$$H_v(\zeta) \equiv [2\Gamma(-v)]^{-1} \sum_{l=0}^{\infty} \frac{(-1)^l}{l!} \Gamma\left(\frac{l-v}{2}\right) (2\zeta)^l, \quad (14)$$

где  $\Gamma(x)$  — гамма-функция,  $v$  — корни трансцендентного уравнения

$$H_v\left(-\frac{p}{\mu_\Lambda}\right) = 0. \quad (15)$$

Энергия возбуждения (в единицах  $\frac{\hbar^2}{B\beta_0^2}$ ) с учетом энергии нулевых колебаний выражается формулой

$$\varepsilon(v\Lambda) = \frac{v + \frac{1}{2}}{\mu^2} \sqrt{1 + 3(\Lambda - \Lambda_0) \left( \frac{\mu}{p} \right)^4 + \frac{\Lambda - \Lambda_0}{2p^2} + \frac{1}{2} \left( \frac{p-1}{\mu^2} \right)^2}. \quad (16)$$

Согласно численным расчетам Малмана и др. [11] корни уравнения (15) при значениях  $\left(\frac{p}{\mu_\Lambda}\right) \geq 4$  с точностью до  $10^{-4}$  совпадают с целыми числами, т. е.  $v_i = n = 0, 1, 2, \dots$ . В этом случае степенной ряд (16) сводится к полиному Эрмита  $H_n(\zeta)$ . Если, далее,  $\mu^4(\Lambda - \Lambda_0) \ll 1$ , то, используя (13), находим приближенные значения

$$p = 1 + \mu^4(\Lambda - \Lambda_0) - 3\mu^8(\Lambda - \Lambda_0)^2 + \dots,$$

$$\mu_\Lambda = \mu \left[ 1 - \frac{3}{4} \mu^4(\Lambda - \Lambda_0) + \dots \right].$$

Следовательно, при  $\mu < \frac{1}{3}$  энергия (16) сводится к выражению

$$\varepsilon(n_\beta, \Lambda) \approx \frac{n_\beta + \frac{1}{2}}{\mu^2} + \frac{1}{2}(\Lambda - \Lambda_0) \left[ 1 + 3\mu^2 \left( n_\beta + \frac{1}{2} \right) \right] - \frac{1}{2} \mu^4 (\Lambda - \Lambda_0)^2 + \dots, \quad (17)$$

а нормированная на элемент объема  $d\xi$  функция  $f_n$  имеет вид

$$f_n(\xi) = (2^n, n! \sqrt{\pi})^{-\frac{1}{2}} \cdot H_n(\xi) \cdot \exp\left(-\frac{1}{2} \xi^2\right)^\beta.$$

Для вычисления  $\Lambda$  и функций  $\Phi_\Lambda$  надо решить уравнение (11). Решение этого уравнения для случая малых колебаний у положения равновесия  $\gamma_0 = 0$  рассмотрено в работах [10, 5, 12] методом теории возмущений. Разлагая в (11) оператор  $T_{rot}$  в ряд по  $\gamma$  с точностью до линейных членов и рассматривая выражение  $\frac{2}{3\sqrt{3}} \gamma (J_2^2 - J_1^2)$  как оператор возмущения, получаем значение  $\Lambda$  в нулевом приближении:

$$\Lambda = \Gamma^{-2} \cdot \left(2n_\gamma + \frac{K}{2} + 1\right) + \frac{J(J+1)}{3} - \frac{K^2}{4} - 3,$$

где  $J$  — полный спин состояния,  $K = 0, 2, 4, \dots$  — проекции спина на аксиальную ось,  $n_\gamma = 0, 1, 2, \dots$  — квантовые числа  $\gamma$ -колебаний. Удобно выбрать введенную ранее постоянную  $\Lambda_0$  равной значению  $\Lambda$  при  $n_\gamma = K = J = 0$ , тогда получим

$$\Lambda - \Lambda_0 = \Gamma^{-2} \cdot \left(2n_\gamma + \frac{K}{2}\right) + \frac{J(J+1)}{3} - \frac{K^2}{4}. \quad (18)$$

В нулевом приближении, когда  $J, K, n_\gamma$  являются хорошими квантовыми числами, уравнению (11) удовлетворяют функции, нормированные на элемент объема

$$d\tau = dz \cdot \sin \theta_2 d\theta_1 d\theta_2 d\theta_3,$$

$$\Phi_{JK}^{(n_\gamma)}(z, \theta) = \left[ \frac{\left(\frac{K}{2} + n_\gamma\right)!}{n_\gamma!} \right]^{\frac{1}{2}} \cdot \frac{z^{\frac{K}{2}}}{\left(\frac{K}{2}\right)!} \cdot e^{-\frac{z}{2}} \cdot F\left(-n_\gamma, 1 + \frac{K}{2}, z\right) \cdot |JK\rangle, \quad (19)$$

где  $z = \frac{\gamma^2}{2\Gamma^2}$ ,  $F(\alpha, \beta, z)$  — вырожденная гипергеометрическая функция,

$$|JK\rangle = \frac{1}{4\pi} \left[ \frac{2J+1}{1+\delta_{0K}} \right]^{\frac{1}{2}} \cdot \{D_{MK}^J(\theta) + (-1)^J D_{M, -K}^J(\theta)\}.$$

Функции  $\Phi_{JK}^{(n_\gamma)}$ , удовлетворяющие уравнению (11), в первом приближении выражаются через функции (19) следующими формулами:

а) при  $n_\gamma = K = 0, J = 0, 2, 4, \dots$

$$\Phi_{J0}^{(0)} = \varphi_{J0}^{(0)} + \frac{a(J)\Gamma^3}{1-\Gamma^2} \varphi_{J2}^{(0)};$$

б) при  $n_\gamma = 0, K = 2, J = 2, 3, 4, \dots$

$$\Phi_{J2}^{(0)} = \varphi_{J2}^{(0)} - a(J) \left[ \frac{\Gamma^3}{1-\Gamma^2} \varphi_{J0}^{(0)} + \frac{\Gamma^3}{1+\Gamma^2} \varphi_{J0}^{(1)} \right] + \frac{b(J)\Gamma^3}{1-3\Gamma^2} \varphi_{J4}^{(0)};$$

в) при  $n_\gamma = 1, K = 0, J = 0, 2, 4, \dots$

$$\Phi_{J0}^{(1)} = \varphi_{J0}^{(1)} + a(J) \left[ \frac{\Gamma^3}{1+\Gamma^2} \varphi_{J2}^{(0)} + \frac{\sqrt{2}\Gamma^3}{1-\Gamma^2} \varphi_{J2}^{(1)} \right],$$

где

$$a(J) = \frac{1 + (-1)^J}{3\sqrt{3}} [(J-1)J(J+1)(J+2)]^{\frac{1}{2}},$$

$$b(J) = \frac{2}{3\sqrt{3}} [(J-3)(J-2)(J+3)(J+4)]^{\frac{1}{2}}.$$

Итак, собственные функции оператора  $h_0$  при  $\mu < \frac{1}{3}$  определяются

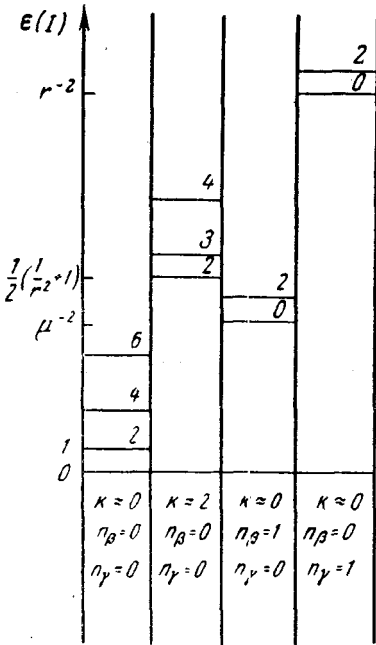


Рис. 1

произведениями

$$\psi = \psi(n_\beta n_\gamma JK) = f_{n_\beta}(\xi) \Phi_{JK}^{n_\gamma}(z, \theta), \quad (20)$$

где  $n_\beta$ ,  $n_\gamma$  — квантовые числа соответственно  $\beta$ - и  $\gamma$ -колебаний, пробегаящие значения  $0, 1, 2, \dots$ ;  $J$  — полный спин состояния,  $K=0, 2, 4, \dots$  — приближенные квантовые числа. При этом энергия возбужденных состояний согласно (17) и (18) равна

$$\Delta E(n_\beta n_\gamma JK) = \varepsilon(n_\beta n_\gamma JK) - \varepsilon(0000), \quad (21)$$

где

$$\begin{aligned} \varepsilon(n_\beta n_\gamma JK) = & \frac{n_\beta + \frac{1}{2}}{\mu^2} + \left[ 1 + 3\mu^2 \left( n_\beta + \right. \right. \\ & \left. \left. + \frac{1}{2} \right) \right] \left[ \Gamma^{-2} \left( n_\gamma + \frac{K}{4} \right) + \frac{J(J+1)}{6} - \right. \\ & \left. - \frac{K^2}{8} \right] - 2\mu^4 \cdot \left[ \Gamma^{-2} \cdot \left( n_\gamma + \frac{K}{4} \right) + \right. \\ & \left. \frac{J(J+1)}{6} - \frac{K^2}{8} \right]^2. \end{aligned} \quad (22)$$

При значениях  $\mu$  и  $\Gamma > \frac{1}{3}$  следует в (21) подставлять значения (16), в которых  $\Lambda - \Lambda_0$  определяется с помощью (18). В очень грубом приближении, при  $\mu$  и  $\Gamma < \frac{1}{3}$ , (22) сводится к простому выражению

$$\Delta E(n_\beta, n_\gamma, JK) = n_\beta \cdot \mu^{-2} + \left( n_\gamma + \frac{K}{4} \right) \cdot \Gamma^{-2} + \frac{J(J+1)}{6} - \frac{K^2}{8}. \quad (23)$$

Зная собственные функции (20) оператора  $h_0$ , можно с помощью формулы (10) определить собственные функции полного оператора (5). Эти собственные функции характеризуются квантовыми числами  $n_\beta$ ,  $n_\gamma$ ,  $J$  и приближенным квантовым числом  $K$ . Энергии возбужденных состояний в нулевом приближении определяются (21).

Для иллюстрации полученных результатов на рис. 1 изображена грубая схема уровней ядра при различных значениях квантовых чисел. Состояния с квантовыми числами  $n_\beta = n_\gamma = 0$ ,  $K \approx 0$ ,  $J = 0, 2, 4, \dots$  обычно называют основной вращательной полосой. Состояния с  $n_\beta = n_\gamma = 0$ ,  $K \approx 2$ ,  $J = 2, 3, 4, \dots$  будем называть аномальной полосой. В грубом приближении эта полоса начинается уровнем с энергией  $\varepsilon(22) \approx \frac{1}{2} \left( \frac{1}{\Gamma^2} + 1 \right)$ .

Состояния с квантовыми числами  $n_\beta = 1, n_\gamma = 0, K \approx 0, J = 0, 2, 4, \dots$  будем называть  $\beta$ -колебательной полосой. Эта полоса начинается с уровнем с энергией  $\varepsilon(0_\beta) \approx \frac{1}{\mu^2}$ . Наконец, состояния с квантовыми числами  $n_\beta = 0, n_\gamma = 1, K \approx 0, J = 0, 2, 4, \dots$  будем называть полосой  $\gamma$ -колебаний. Эта полоса начинается уровнем с энергией  $\varepsilon(0_\gamma) \approx \frac{1}{\Gamma^2}$ . Следовательно, среди первых коллективных возбуждений имеются два типа состояний со спином нуль и четыре типа состояний со спином 2. Они отличаются друг от друга энергией и вероятностями  $E0$ - и  $E2$ -переходов. Поэтому теоретическое и экспериментальное изучение  $E0$ - и  $E2$ -переходов весьма необходимо для определения природы коллективных возбуждений.

## § 2. Монопольные электрические переходы

Как показали Черч и Венесер [1], вероятность  $E0$ -переходов может быть записана в виде произведения  $\omega = \Omega \cdot \langle f | \mathfrak{M}(E0) | i \rangle$ , где  $\Omega$  — множитель (явный вид его дан в [1]), зависящий от электронных волновых функций,

$$\langle f | \mathfrak{M}(E0) | i \rangle \quad (24)$$

«ядерный матричный элемент монополя», зависящих от функций  $|i\rangle$  и  $|f\rangle$  начального и конечного состояний ядра и от оператора  $\mathfrak{M}(E0)$  монопольного электрического перехода. В случае однородного распределения протонов по объему ядра этот оператор выражается через внутренние переменные  $\beta$  и  $\gamma$  с помощью формулы

$$\mathfrak{M}(E0) = A(\beta^2 + B\beta^3 \cos 3\gamma), \quad (25)$$

где  $A = \frac{3Z}{4\pi}$ ,  $B = \frac{5\sqrt{5}}{21\sqrt{\pi}}$ ,  $Z$  — заряд ядра. Оператор (25) не может вызвать переходов между вращательными состояниями ядра, рассчитанными в адиабатическом приближении (когда  $\beta$  и  $\gamma$  постоянны). Реальные возбужденные состояния всегда связаны с изменением значений  $\beta$  и  $\gamma$  относительно из равновесных значений  $\beta_0$  и  $\gamma_0$  в нулевом состоянии. Рассматривая случай  $\gamma_0 = 0$  и  $\mu < \frac{1}{3}$ , можно с точностью до постоянной преобразовать (25) к виду

$$\mathfrak{M}(E0) = A\beta_0^2(2\mu\zeta - 9B\beta_0\Gamma^2z + \mu^2\zeta^2 - 27B\beta_0\mu\Gamma^2\zeta z + \dots).$$

Подставляя (10) в (24), находим ядерный силовой параметр для переходов между состояниями  $|i\rangle \equiv |n_\beta^i n_\gamma^i J^i K^i\rangle$  одинакового спина

$$\rho(i \rightarrow f) = \langle \psi_f | \mathfrak{M}(E0) | \psi_i \rangle + \sum_l \left\{ \frac{\langle \psi_f | h_1 | \psi_l \rangle \langle \psi_l | \mathfrak{M}(E0) | \psi_i \rangle}{\varepsilon_f - \varepsilon_l} + \frac{\langle \psi_f | \mathfrak{M}(E0) | \psi_l \rangle \langle \psi_l | h_1 | \psi_i \rangle}{\varepsilon_l - \varepsilon_i} \right\}, \quad (26)$$

где оператор  $h_1$ , определенный формулой (5), при  $\gamma_0 = 0$  в переменных  $\zeta$  и  $z$  имеет вид

$$h_1 \approx \frac{3}{4} \frac{\mu}{\Gamma^2} \zeta z. \quad (27)$$

Матричные элементы типа  $\langle \psi_f | \mathfrak{M}(E0) | \psi_l \rangle$  между состояниями, определяемыми оператором  $h_0$ , уже рассчитывались в [5]. Вычислив (26), можно учесть роль оператора  $h_1$ , характеризующего связь  $\beta$ - и  $\gamma$ -колебаний, в  $E0$ -переходах.



Ниже указаны значения матричных элементов монополя. Если ввести обозначения

$$\rho(i \rightarrow f) \equiv \frac{3Z}{4\pi} \beta_0^2 \cdot R(i \rightarrow f), \quad (28)$$

$$\frac{1}{\mu^2} \approx q \equiv \frac{\varepsilon(0_\beta)}{\varepsilon(20)}, \quad \frac{1}{\Gamma^2} \approx 2s - 1, \quad s \equiv \frac{\varepsilon(22)}{\varepsilon(20)}, \quad (29)$$

то переходы с уровней  $\beta$ -колебательных полос на уровни того же спина основной вращательной полосы определяются значениями

$$R(J_\beta \rightarrow J_0) \equiv R(10J_0 \rightarrow 00J_0) = \mu \sqrt{2} \approx \left(\frac{2}{q}\right)^{1/2},$$

$$R(J_{2\beta} \rightarrow J_0) \equiv R(20J_0 \rightarrow 00J_0) = \frac{\mu^2}{\sqrt{2}} \approx (q\sqrt{2})^{-1}.$$

Для переходов между уровнями двух  $\beta$ -колебательных полос

$$R(J_{2\beta} \rightarrow J_\beta) \equiv R(20J_0 \rightarrow 10J_0) = 2\mu \approx 2q \frac{1}{2}.$$

Для переходов между уровнями аномальной вращательной полосы и уровнями основной вращательной полосы

$$R(J_2 \rightarrow J_0) \equiv R(00J_2 \rightarrow 00J_0) = -\frac{2\sqrt{(J-1)J(J+1)(J+2)}}{\sqrt{3(2s-1) \cdot [q^2 - (s-1)^2]}.$$

В частности,

$$R(22 \rightarrow 20) = -4 \left(s - \frac{1}{2}\right)^{-\frac{1}{2}} \cdot [q^2 - (s-1)^2]^{-1}.$$

Для переходов между уровнями  $\gamma$ -колебательной полосы и уровнями основной вращательной полосы

$$R(J_\gamma \rightarrow J_0) \equiv R(01J_0 \rightarrow 00J_0) = 3 \frac{s - \frac{1}{2}}{q^2 - (2s-1)^2}.$$

Для переходов между уровнями  $\gamma$ -колебательной и  $\beta$ -колебательной полос

$$R(J_\gamma \leftrightarrow J_\beta) \equiv R(01J_0 \leftrightarrow 10J_0) = \frac{45\sqrt{5}}{14\sqrt{2\pi}}, \quad \beta_0 \frac{q - s + \frac{1}{2}}{q^{3/2} \left(s - \frac{1}{2}\right)}.$$

Все написанные выше формулы справедливы только при значении  $q \geq 9$  и  $s \leq \frac{1}{3} q^2$ .

### § 3. Электрические квадрупольные переходы

Приведенная вероятность  $E2$ -переходов между коллективными состояниями  $i$  и  $j$  определяется равенством

$$B(E2, i \rightarrow f) = \frac{5}{16\pi} \sum_{m, m_f} |\langle f | Q_{2m} | i \rangle|^2, \quad (30)$$

где  $Q_{2m}$  при малых колебаниях  $\beta$  и  $\gamma$  около равновесных значений  $\gamma_0 = 0$  и  $\beta_0$  можно записать в следующем виде:

$$Q_{2m} = \epsilon Q_0 t_{2m},$$

при этом

$$t_{2m} = (1 + \mu \zeta) \left\{ (1 - \Gamma^2 z + \dots) D_{m0}^2 + \Gamma z^{1/2} \left( 1 - \frac{1}{3} \Gamma^2 z \right) (D_{m2}^2 + D_{m-2}^2) \right\},$$

$$Q_0 = \frac{3ZR_0^2 \beta_0}{\sqrt{5\pi}}, \quad \zeta = \frac{\beta - \beta_0}{\mu \beta_0}, \quad z = \frac{\gamma^2}{2\Gamma^2}. \quad (31)$$

Пользуясь (30) и (10), получаем явное выражение приведенных вероятностей  $B(E2, i \rightarrow f)$  (в единицах  $\frac{e^2 Q_0^2}{16\pi}$ ) через волновые функции (18) и операторы (31) и (7)

$$b(E2, i \rightarrow f) = 5 \sum_{m, m_f} \cdot |\langle \psi_f | t_{2m} | \psi_i \rangle| + \sum_l' \left\{ \frac{\langle \psi_f | h_l | \psi_i \rangle \langle \psi_l | t_{2m} | \psi_i \rangle}{\epsilon_f - \epsilon_l} + \frac{\langle \psi_f | t_{2m} | \psi_i \rangle \langle \psi_l | h_l | \psi_i \rangle}{\epsilon_i - \epsilon_l} \right\}^2. \quad (32)$$

Вычисления приводят к следующим результатам (значения  $q$  и  $s$  определены в (29)):

а) для переходов внутри основной вращательной полосы

$$b(E2, J0 \rightarrow J'0) = 5 \cdot (2J00 | J'0)^2 \cdot \left( 1 - \frac{1}{s} \right) \left( 1 - \frac{3}{2} \cdot \frac{s}{q^2} \right)^2,$$

где  $(2JmM | J'M')$  — коэффициенты векторного сложения. В частном случае при переходе с первого возбужденного состояния в основное

$$b(E2, 20 \rightarrow 0) = \left( 1 - \frac{1}{s} \right) \left( 1 - \frac{3}{2} \cdot \frac{s}{q^2} \right)^2;$$

б) переходы внутри аномальной полосы

$$b(E2, J2 \rightarrow J'2) = 5 \cdot (2J02 | J'2)^2 \cdot \left( 1 - \frac{2}{s} \right) \left( 1 - 3 \frac{s}{q^2} \right)^2;$$

в) переходы с аномальной на основную вращательную полосу

$$b(E2, J2 \rightarrow J'0) = 10 \cdot (2J-2, 2 | J'0)^2 \cdot (2s-1)^{-1} \cdot \left( 1 - \frac{9}{4} \cdot \frac{s}{q^2} \right)^2 \times$$

$$\times \left\{ 1 + \frac{2}{3(2s-1)} \left[ \frac{(2J02 | J'2)}{(2J-22 | J'0)} \sqrt{\frac{2(J'-1)J'(J'+1)(J'+2)}{3}} - 2 - \frac{1+(-1)^J}{2} \cdot \frac{(2J00 | J'0)}{(2J-22 | J'0)} \cdot \sqrt{\frac{2(J-1)J(J+1)(J+2)}{3}} \right] \right\}.$$

Частные случаи:

$$b(E2, 22 \rightarrow 20) = \frac{10}{7s} \left( 1 + \frac{5}{2s} \right) \left( 1 - \frac{9}{4} \cdot \frac{s}{q^2} \right)^2,$$

$$b(E2, 22 \rightarrow 0) = \frac{1}{s} \cdot \left( 1 - \frac{3}{2s} \right) \left( 1 - \frac{9}{4} \cdot \frac{s}{q^2} \right)^2;$$

г) переходы с уровней  $\beta$ -колебательных полос на основную вращательную полосу

$$b(E2, J_\beta \rightarrow J_0) = \frac{5}{2q} \cdot (2J_\beta 00 | J_0)^2 \cdot \left(1 - \frac{1}{s}\right);$$

в частности,

$$b(E2, 0_\beta \rightarrow 2_0) = \frac{5}{2q} \left(1 - \frac{1}{s}\right); \quad b(E2, 2_\beta \rightarrow 2_0) = \frac{2}{7} b(E2, 0_\beta \rightarrow 2_0);$$

$$b(E2, 2_\beta \rightarrow 0) = \frac{1}{5} b(E2, 0_\beta \rightarrow 2_0);$$

д) переходы с уровней  $\gamma$ -колебательной полосы ( $K \approx 0$ ) на уровни основной вращательной полосы

$$b(E2, J_\gamma \rightarrow J_0) = \frac{5}{4s^2} (2J_\gamma 00 | J_0)^2 \cdot \left[ \frac{q^2 - \left(s - \frac{1}{2}\right)^2}{q^2 - 4\left(s - \frac{1}{2}\right)^2} \right]^2.$$

Частные случаи:

$$b(E2, 0_\gamma \rightarrow 2_0) = \frac{5}{4s^2} \cdot \left[ \frac{q^2 - \left(s - \frac{1}{2}\right)^2}{q^2 - 4\left(s - \frac{1}{2}\right)^2} \right]^2;$$

$$b(E2, 2_\gamma \rightarrow 2_0) = \frac{2}{7} b(E2, 0_\gamma \rightarrow 2_0);$$

$$b(E2, 2_\gamma \rightarrow 0) = \frac{1}{5} b(E2, 0_\gamma \rightarrow 2_0).$$

#### § 4. Сравнение теории с экспериментом

Определим «ядерную вероятность» монополярного электрического перехода с помощью равенства

$$B(E0, i \rightarrow f) \equiv e^2 R_0^4 \rho^2 (i \rightarrow f). \quad (33)$$

При сравнении теоретических и экспериментальных данных удобно использовать введенные Расмуссеном [14] и Райнером [4] безразмерные отношения

$$X \left( \frac{E0, i \rightarrow f}{E2, i \rightarrow f'} \right) \equiv \frac{B(E0, i \rightarrow f)}{B(E2, i \rightarrow f')} = \frac{5\beta_0^2 R^2 (i \rightarrow f)}{b(E2, i \rightarrow f')}. \quad (34)$$

Подставляя в (34) значения, вычисленные в разделах 3 и 4, получаем для двух типов  $0 \rightarrow 0$  переходов

$$X \left( \frac{E0, 0_\beta \rightarrow 0}{E2, 0_\beta \rightarrow 2_0} \right) = 4\beta_0^2 \left(1 + \frac{1}{s}\right); \quad X \left( \frac{E0, 0_\gamma \rightarrow 0}{E2, 0_\gamma \rightarrow 2_0} \right) = 36\beta_0^2 \left(1 - \frac{q^2}{s^2}\right)^{-2}.$$

Представляет интерес также отношение

$$\frac{B(E0, 0_\gamma \rightarrow 0_\beta)}{B(E0, 0_\gamma \rightarrow 0)} = \frac{2250}{49\pi} \cdot \beta_0^2 \cdot \frac{\left(q - s + \frac{1}{2}\right)^2}{q^2} \left[ 1 - \left(\frac{q}{2s-1}\right)^2 \right]^2.$$

Приведем далее значения отношений (34) для  $E0$ -переходов между уровнями

разного типа, имеющими спин 2:

$$X\left(\frac{E0,22 \rightarrow 20}{E2,22 \rightarrow 20}\right) = 56\beta_0^2 \cdot [q^2 - (s-1)^2]^{-2} \left(1 - \frac{2}{s}\right) \left(1 + \frac{9}{2} \frac{s}{q^2}\right),$$

$$X\left(\frac{E0,2_\beta \rightarrow 20}{E2,2_\beta \rightarrow 20}\right) = \frac{7}{10} X\left(\frac{E0,2_\beta \rightarrow 20}{E2,2_\beta \rightarrow 0}\right) = \frac{7}{2} X\left(\frac{E0,0_\beta \rightarrow 0}{E0,0_\beta \rightarrow 20}\right),$$

$$X\left(\frac{E0,2_\gamma \rightarrow 20}{E2,2_\gamma \rightarrow 20}\right) = \frac{7}{10} X\left(\frac{E0,2_\gamma \rightarrow 20}{E2,2_\gamma \rightarrow 0}\right) = \frac{7}{2} X\left(\frac{E2,0_\gamma \rightarrow 0}{E2,0_\gamma \rightarrow 20}\right).$$

Приведенные выше формулы использованы в табл. 1 при сравнении экспериментальных и теоретических данных, относящихся к  $E0$ -переходам между возбужденными состояниями ядер, имеющими спин 0. В таблице указаны теоретические значения  $\rho$  и  $X$  как для случая, когда переход происходит с  $\beta$ -колебательного состояния, так и для случая перехода с  $\gamma$ -колебательного состояния. Сравнение с экспериментом подтверждает, что рассмотренные в таблице возбужденные состояния относятся к  $\beta$ -колебательным.

В табл. 2 приведено сравнение теоретических и экспериментальных значений  $\rho$  и  $X$  для переходов между возбужденными состояниями, имеющими спин 2. Теоретические значения  $\rho$  выписаны для трех случаев соответственно переходам на первое возбужденное состояние с уровнями

Таблица 1

**$E0$ -переходы между состояниями со спином 0**

Ядро	$\beta_0$	$s = \frac{\varepsilon(22)}{\varepsilon(20)}$	$q = \frac{\varepsilon(0_\beta)}{\varepsilon(20)}$	$E0$ -переход, $K\pi\pi$	Теория	
					$\rho(0_\beta \rightarrow 0)$	$\rho(0_\gamma \rightarrow 0)$
Sm <sup>152</sup>	0,29	8,91	5,60	685 (0 <sub>β</sub> ) → 0	0,75	-0,13
Gd <sup>154</sup>	0,28	8,10	5,52	680 (0 <sub>β</sub> ) → 0	0,72	-0,14
Gd <sup>156</sup>	0,32	0,13	11,4	1010 (0 <sub>β</sub> ) → 0	0,65	-0,12
Hf <sup>178</sup>	0,26	17,3*	12,8	1197 (0 <sub>β</sub> ) → 0	0,46	-0,061
Pu <sup>238</sup>	0,28	23,3	21,2	935 (0 <sub>β</sub> ) → 0	0,53	-0,075
Pu <sup>240</sup>	0,27	23,7	20,0	858 (0 <sub>β</sub> ) → 0	0,52	-0,066

Продолжение

Ядро	Эксперимент		Теория		Литература
	$\rho(0 \rightarrow 0)$	$X\left(\frac{E0,0 \rightarrow 0}{E2,0 \rightarrow 20}\right)$	$X\left(\frac{E0,0_\beta \rightarrow 0}{E2,0_\beta \rightarrow 20}\right)$	$X\left(\frac{E0,0_\gamma \rightarrow 0}{E2,0_\gamma \rightarrow 20}\right)$	
Sm <sup>152</sup>	—	0,077 0,016	0,36	8,2	[15, 14, 16, 17]
Gd <sup>154</sup>	—	0,077 0,016	0,34	10	[15, 18]
Gd <sup>156</sup>	—	0,8	0,45	66	[15, 18]
Hf <sup>178</sup>	—	0,18 ± 0,04	0,29	12	[14, 16]
Pu <sup>238</sup>	—	0,14	0,32	110	[14, 16]
Pu <sup>240</sup>	—	0,13 ÷ 0,30	0,30	31	[19]

$\beta$ -вибрационной,  $\gamma$ -вибрационной или аномальной полосы. Теоретические значения  $X$  приведены для двух случаев соответственно переходам на первое возбужденное состояние с уровней  $\beta$ -вибрационной или аномальной полосы. Значения  $s$  и  $q$ , отмеченные звездочками в табл. 1 и 2, получены из теоретических оценок.

Таблица 2

$E0$ -переходы между состояниями со спином 2

Ядро	$\beta_2$	$s \equiv \frac{\varepsilon(22)}{\varepsilon(20)}$	$q = \frac{\varepsilon(0\beta)}{\varepsilon(20)}$	$E0$ -переход, $K\pi$	Теория		
					$\rho(2\beta \rightarrow 20)$	$\rho(2\gamma \rightarrow 20)$	$\rho(22 \rightarrow 20)$
Sm <sup>152</sup>	0,29	8,91	5,60	807(2 <sub>g</sub> ) → 122	0,75	-0,13	+0,053
Gd <sup>154</sup>	0,28	8,1	5,52	816(2 <sub>g</sub> ) → 123	0,72	-0,14	+0,088
Gd <sup>156</sup>	0,32	13	11,4	1130(2 <sub>g</sub> ) → 89	0,65	-0,12	+0,126
W <sup>182</sup>	0,24	12,2	11,6*	1222(22) → 100	0,43	-0,084	-0,133
W <sup>184</sup>	0,22	8,13	21*	904(22) → 111	0,26	+0,084	-0,003
Os <sup>188</sup>	0,18	4,07	11,4	634(22) → 155	0,24	+0,079	-0,011
Os <sup>190</sup>	0,16	2,98	18*	557(22) → 187	0,16	+0,012	-0,004
Pt <sup>196</sup>	0,12	1,31	6,2*	685(22) → 354	0,15	+0,036	-0,023
Hg <sup>198</sup>	0,10	2,34	4*	1087(22) → 412	0,13	-0,55	-0,034
Th <sup>232</sup>	0,24	15,8	14,5*	775(2 <sub>g</sub> ) → 50	0,47	-0,080	+0,15
U <sup>238</sup>	0,27	23,3	22,2	1036(2 <sub>g</sub> ) → 45	0,48	-0,067	+0,054

Продолжение табл. 2

Ядро	Эксперимент		Теория		Литература
	$\rho(2 \rightarrow 2)$	$X = \left( \frac{E 0,2 \rightarrow 2}{E 2,2 \rightarrow 2} \right)$	$X = \left( \frac{E 0,22 \rightarrow 20}{E 2,2 \rightarrow 20} \right)$	$X = \left( \frac{E 0,2\beta \rightarrow 20}{E 2,2\beta \rightarrow 20} \right)$	
Sm <sup>152</sup>	0,34 ± 0,05	> 0,7	0,0088	1,30	[15,20]
Gd <sup>154</sup>	—	> 0,3	0,020	1,23	[15]
Gd <sup>156</sup>	—	> 0,4	0,036	1,54	[15]
W <sup>182</sup>	—	0,032	0,046	0,88	[21]
W <sup>184</sup>	—	0,015	1,3 · 10 <sup>-5</sup>	0,75	[21]
Os <sup>188</sup>	0,022 ± 0,011	0,003—0,011	8,5 · 10 <sup>-5</sup>	0,56	[22]
Os <sup>190</sup>	0,025 ± 0,028	0,0007—0,0065	7,5 · 10 <sup>-6</sup>	0,48	[22]
Pt <sup>196</sup>	0,009—0,050	0,0002—0,0012	2,1 · 10 <sup>-4</sup>	0,30	[23]
Hg <sup>198</sup>	0,064—0,390	0,0001—0,0015	0,0024	0,19	[22]
Th <sup>232</sup>	0,08 ± 0,02	—	0,050	0,89	[24, 25, 13]
	0,25				
	0,17				
U <sup>238</sup>	0,097	—	0,0063	1,06	[25]

ЛИТЕРАТУРА

1. Church E. L., Wenner J. Phys. Rev., **103**, 1035, 1956.
2. Ростовский В. С. ЖЭТФ, **39**, 854, 1960.
3. Rasmussen J. O. Nucl. Phys., **24**, 682, 1961.
4. Reiner A. S. Nucl. Phys., **27**, 115, 1961.
5. Давыдов А. С., Ростовский В. С., Чабан А. А. Nucl. Phys., **27**, 134, 1961; «Вестн. Моск. ун-та», сер. физики, астрономии, № 3, 66, 1961.
6. Hara K. Nucl. Phys., **46**, 385, 1963.
7. Bohr A. Mat. Fys. Medd. Dan. Vid. Selsk., **26**, No. 14, 1952. Bohr A., Mottelson B. R. Mat. Fys. Medd. Dan. Vid. Selsk., **27**, No. 16 1953.
8. Давыдов А. С., Филиппов Г. Ф. Nucl. Phys., **8**, 237, 1958.

9. Бирбраир Б. Л., Пекер Л. К., Слив Л. А. ЖЭТФ, **36**, 803, 1961.
10. Давыдов А. С. Nucl. Phys., **24**, 682, 1961; «Вестн. Моск. ун-та», сер. физики, астрономии, № 1, 56, 1961.
11. Day P., Klema E. D., Mallman C. A. Argonne Nat. Labor. Report ANL-6220, Nov., 1960; Nucl. Phys., **25**, 266, 1961.
12. Беляк В. Н., Заикин Д. А. «Изв. АН СССР», сер. физическая, **25**, 1663, 1961; Nucl. Phys., **30**, 142, 1962.
13. Stephens F. S., Diamond R. M., Perlman I. Phys. Rev. Lett., **3**, 435, 1959.
14. Rasmussen J. O. Nucl. Phys., **19**, 85, 1960.
15. Луценко В. Н. Nucl. Phys., **47**, 42, 1963.
16. Gallagher C. J., Nielsen H. L., Nielsen O. B. Phys. Rev., **122**, 1590, 1962.
17. Marclund I., Nathan O., Nielsen O. B. Nucl. Phys., **15**, 199, 1960.
18. Грошев Л. В., Демидов А. М., Иванов В. А., Луценко В. Н., Пелехов В. И. «Изв. АН СССР», сер. физическая, **26**, 1119, 1962.
19. Bunker M. E., and all. Phys. Rev., **116**, 143, 1960.
20. Sheline R. K., Nielsen H. L., Sperduto A. Nucl. Phys., **16**, 518, 1959.
21. Sakai M. Preprint, Oct., 1961.
22. Yamazaki Y., Nucl. Phys., **44**, 353, 1963.
23. Gerholm T. R., Petterson B. G. Phys. Rev., **110**, 1119, 1958.
24. Mo Gewen F. K., Stelson P. H. Phys. Rev., **120**, 1803, 1960.
25. Durham F. E., Rester D. H., Class C. M. Phys. Rev. Lett., **5**, 202, 1960.

Поступила в редакцию  
12. 2 1964 г.

Кафедра  
электродинамики и квантовой  
теории